

Avaliação Teórica e Experimental dos Algoritmos de Ordenação Shell Sort e Cycle Sort

Luciano Sousa Barbosa¹, Pedro Henrique Silva Rodrigues¹, Tiago Lima de Moura¹

¹Departamento de Sistemas de Informação – Universidade Federal do Piauí (UFPI)
64.600-000 – Picos – PI – Brasil

{luciano.barbosa, pedro.rodrigues.pr, tiago.lima}@ufpi.edu.br

Resumo. Este trabalho apresenta uma análise comparativa dos algoritmos de ordenação Shell Sort e Cycle Sort, considerando aspectos teóricos e experimentais. Os algoritmos foram implementados na linguagem C e avaliados sob diferentes configurações de entrada, variando o tamanho dos vetores e o grau de ordenação inicial dos dados. A análise experimental considerou múltiplas métricas e medidas estatísticas. Os resultados obtidos possibilitam avaliar o comportamento prático dos algoritmos e relacioná-los com a complexidade assintótica. Por fim, são discutidas as diferenças de desempenho observadas e a sensibilidade de cada algoritmo à disposição inicial dos elementos.

1. Introdução

A ordenação de dados é uma operação fundamental em Ciência da Computação, estando presente em aplicações como processamento de informações, bancos de dados e sistemas de recuperação de dados [Thomas H et al. 2009]. A eficiência dos algoritmos de ordenação influencia diretamente o desempenho global desses sistemas, especialmente quando o volume de dados cresce significativamente [Sedgewick and Wayne 2011]. Dessa forma, o estudo sistemático desses algoritmos torna-se essencial para compreender os limites e aplicações práticas em diferentes contextos computacionais [Donald et al. 1997].

Diferentes algoritmos de ordenação apresentam comportamentos distintos conforme a organização inicial dos dados de entrada e o conjunto de operações realizadas internamente [Bentley and McIlroy 1993]. Alguns algoritmos buscam minimizar o número de comparações, enquanto outros priorizam a redução no número de trocas, o que resulta em desempenhos variados dependendo do cenário analisado [Sundaramoorthy and Karunandhi 2025]. Nesse sentido, a análise exclusivamente teórica nem sempre é suficiente para caracterizar o desempenho em ambientes reais de execução [Hopcroft et al. 1983].

Entre os algoritmos baseados em comparação, o *Shell Sort* e o *Cycle Sort* apresentam características estruturais distintas que motivam sua avaliação conjunta [Sedgewick and Wayne 2011]. O *Shell Sort* estende o *Insertion Sort* por meio da utilização de incrementos, buscando reduzir o custo das movimentações de elementos ao longo do processo de ordenação [Donald et al. 1997]. Por sua vez, o *Cycle Sort* foi desenvolvido com o objetivo de minimizar o número de trocas realizadas, característica relevante em cenários onde a escrita em memória é custosa [Thomas H et al. 2009].

A análise experimental desses algoritmos permite observar como tais diferenças teóricas se manifestam na prática, especialmente sob diferentes padrões de ordenação

inicial dos dados [Ayazuddin 2025]. Métricas como tempo de execução, número de comparações, quantidade de trocas e medidas estatísticas associadas fornecem uma visão mais abrangente do comportamento dos algoritmos [Jain 1990]. Dessa forma, torna-se possível identificar discrepâncias entre o desempenho teórico e o desempenho prático observado [Muhammad et al. 2025].

Assim, o objetivo geral deste trabalho é realizar uma avaliação comparativa dos algoritmos de ordenação *Shell Sort* e *Cycle Sort*, considerando desempenho, complexidade assintótica e sensibilidade à ordenação inicial dos dados. A partir de experimentos controlados, busca-se relacionar os resultados empíricos com as previsões teóricas, contribuindo para uma compreensão mais sólida sobre a aplicação desses algoritmos em diferentes cenários computacionais.

2. Referencial Teórico

Nesta seção, são apresentados os fundamentos teóricos relacionados aos algoritmos de ordenação estudados neste trabalho, abordando seus princípios de funcionamento, características estruturais e particularidades operacionais. São discutidos os aspectos conceituais que orientam o comportamento dos algoritmos *Shell Sort* e *Cycle Sort*, bem como suas estratégias internas de ordenação e impactos sobre o desempenho. Além disso, são analisadas as complexidades assintóticas associadas a cada algoritmo, considerando diferentes configurações de entrada. Conceitos práticos serão introduzidos para conectar a teoria dos algoritmos e os resultados experimentais apresentados nas seções subsequentes.

2.1. Shell Sort

O algoritmo *Shell Sort* foi proposto por [Shell 1959] como uma generalização do *Insertion Sort*, com o objetivo de reduzir o número de deslocamentos necessários durante o processo de ordenação. Ao introduzir comparações entre elementos distantes, o algoritmo busca minimizar a influência de entradas desfavoráveis, conectando-se diretamente à limitação do *Insertion Sort* em vetores grandes e desordenados [Lipton and Naughton].

A ideia central do *Shell Sort* consiste em ordenar o vetor por meio de subsequências geradas a partir de um intervalo (*gap*), que é progressivamente reduzido até atingir o valor unitário, momento em que o algoritmo se comporta como um *Insertion Sort* tradicional [Mahmoud 2011]. Essa estratégia permite que elementos distantes de suas posições finais sejam movidos mais rapidamente, estabelecendo uma transição eficiente entre ordenações grosseiras e refinadas [Smythe and Wellner 2001].

Um dos aspectos mais relevantes do *Shell Sort* está na escolha da sequência de incrementos (*gap sequence*), fator que influencia diretamente seu desempenho prático e teórico [Janson and Knuth 1997]. Diversas sequências foram propostas ao longo do tempo, como as de [Shell 1959, Hibbard 1962, Lipton and Naughton , Pratt 1972], cada uma apresentando impactos distintos na complexidade e no comportamento empírico do algoritmo.

Do ponto de vista da complexidade assintótica, o *Shell Sort* não possui uma análise fechada e única, uma vez que sua complexidade depende fortemente da sequência de incrementos adotada [Souza et al. 2018]. Em cenários práticos, determinadas sequências permitem desempenhos próximos de $O(n^{3/2})$ ou até melhores, enquanto no pior caso

teórico algumas configurações podem se aproximar de $O(n^2)$ [Frank and Lazarus 1960, Sedgewick 1986]. Observe a tabela 1.

Tabela 1. Complexidade Analítica Para Algumas Sequências de Passos.

Autor Ano	Passos $\{p_1, \dots, p_k\}$	Pior caso
[Shell 1959]	$\{n/2^i : 0 < i \leq \lfloor \log_2 n \rfloor\}$	$\Theta(n^2)$
[Frank 1960]	$\{2 \cdot \lfloor n/2^i \rfloor + 1 : 0 < i \leq \lfloor \log_2 n \rfloor\}$	$\Theta(n^{3/2})$
[Hibbard 1962]	$\{2^i - 1 : 0 < i \leq \lfloor \log_2 n \rfloor\}$	$\Theta(n^{3/2})$
[Papernov 1965]	$\{1\} \cup \{2^{i-1} + 1 : 1 < i \leq \lfloor \log_2 n \rfloor\}$	$\Theta(n^{3/2})$
[Pratt 1972]	$\{q = 2^r 3^s : r, s \in \mathbb{N} \mid q < n\}$	$\Theta(n \log^2 n)$
[Knuth 1973]	$\{q = (3^i - 1)/2 : i \in \mathbb{N} \mid q \leq \lceil n/3 \rceil\}$	$\Theta(n^{3/2})$
[Sedgewick 1986]	$\{q = 4^i + 3 \cdot 2^{i-1} + 1 : 1 < i \in \mathbb{N} \mid q < n\}$	$\Theta(n^{4/3})$
[Gonnet 1991]	$\{(0.45454)^i \cdot n : 0 < i \leq \lfloor \log_{2/3} n \rfloor\}$	em aberto
[Tokuda 1992]	$\left\{q = \left\lfloor \frac{9^i - 4^i}{5 \cdot 4^{i-1}} \right\rfloor : 1 < i \in \mathbb{N} \mid q < n\right\}$	em aberto

Em termos de características operacionais, o *Shell Sort* é um algoritmo *in-place*, não estável e de fácil implementação, o que contribui para sua ampla utilização em contextos educacionais e aplicações com restrições de memória [Smythe and Wellner 2002]. Essas propriedades o tornam especialmente interessante para estudos comparativos, pois combinam simplicidade estrutural com desempenho competitivo em entradas parcialmente ordenadas [Gonnet and Baeza-Yates 1991].

Por fim, o funcionamento interno do *Shell Sort* evidencia uma relação direta entre teoria e prática, uma vez que pequenas variações na configuração dos *gaps* podem resultar em diferenças significativas no número de comparações e trocas realizadas. Essa sensibilidade justifica a necessidade de análises experimentais complementares, conectando os fundamentos teóricos às observações empíricas apresentadas neste trabalho. A figura 1 abaixo apresenta uma implementação em pseudocódigo do algoritmo.

Listing 1. Implementação em Pseudocódigo do Shell Sort.

```

PROCEDIMENTO shellSort(v[], n)
    // Calcula o primeiro passo usando a sequencia de Knuth
    k = floor(log3(n + 1) + 0.5)
    h = (3^k - 1) / 2

    // Loop principal: executa para cada valor de h
    ENQUANTO h >= 1 FACA
        // Insertion sort com passo h
        PARA i = h ATÉ n-1 FACA
            temp = v[i] // Elemento a ser posicionado
            j = i // Índice para comparações

            // Move elementos maiores que temp
            ENQUANTO j >= h FACA
                // Encontra posição correta para temp
                SE v[j-h] <= temp ENTÃO PARAR
                v[j] = v[j-h] // Desloca elemento
                j = j - h // Atualiza índice
            FIM ENQUANTO

            // Insere temp na posição correta
            v[j] = temp
    
```

```

    FIM PARA

    // Proximo passo da sequencia de Knuth
    h = (h - 1) / 3
FIM ENQUANTO
FIM PROCEDIMENTO

```

2.2. Cycle Sort

O *Cycle Sort* é um algoritmo de ordenação baseado no conceito de ciclos de permutação, tendo sido formalmente descrito no contexto de técnicas para minimização de escritas em memória, característica que o diferencia de algoritmos clássicos de comparação [Haddon 1990]. Essa motivação histórica conecta-se diretamente a cenários onde o custo de escrita é elevado, como em memórias *EEPROM* e sistemas embarcados.

O princípio fundamental do *Cycle Sort* consiste em posicionar cada elemento diretamente em sua posição final correta, formando ciclos de movimentação que evitam trocas desnecessárias [Sedgewick and Wayne 2011]. Ao completar um ciclo, o algoritmo garante que todos os elementos envolvidos estejam corretamente posicionados, conectando a noção matemática de permutação à ordenação prática de dados.

Do ponto de vista operacional, o algoritmo percorre o vetor identificando quantos elementos são menores que o item corrente, determinando assim sua posição correta no vetor ordenado [Jain 1990]. Caso o elemento já esteja na posição adequada, o algoritmo avança, mantendo uma transição eficiente entre ciclos completos e iterações subsequentes.

Em relação à complexidade assintótica, o *Cycle Sort* apresenta complexidade de tempo $O(n^2)$ em todos os casos, uma vez que depende de comparações repetidas para determinar a posição correta de cada elemento [Turzo et al. 2020]. Entretanto, sua complexidade de escrita é ótima, realizando no máximo $n - 1$ troca, o que o torna assintoticamente eficiente sob a métrica de movimentações [Lipton and Naughton].

Entre as suas principais características, destaca-se o fato de o *Cycle Sort* ser um algoritmo *in-place*, não estável e altamente sensível à presença de elementos duplicados, exigindo cuidados adicionais em sua implementação [Sedgewick and Wayne 2011]. Essa sensibilidade reforça a importância de análises cuidadosas do comportamento do algoritmo sob diferentes configurações de entrada, especialmente em vetores aleatórios ou com repetições de valores.

Por fim, o *Cycle Sort* apresenta um contraste relevante entre desempenho teórico e aplicabilidade prática, sendo pouco utilizado em sistemas gerais, mas altamente valioso em estudos comparativos e contextos específicos onde a minimização de escritas é prioritária. Essa particularidade justifica sua inclusão neste trabalho, permitindo avaliar como métricas distintas, além do tempo de execução, influenciam a escolha de algoritmos de ordenação. A figura 2 abaixo apresenta uma implementação em pseudocódigo do algoritmo.

Listing 2. Implementação em Pseudocódigo do Cycle Sort.

```

PROCEDIMENTO cycleSort(v[], n)
    PARA ciclo_inicio = 0 ATÉ n-2 FAÇA
        item = v[ciclo_inicio]
        pos = ciclo_inicio

```

```

// Encontra posicao correta para o item
PARA j = ciclo_inicio+1 ATÉ n-1 FAÇA
    SE v[j] < item ENTÃO
        pos = pos + 1
    FIM SE
FIM PARA

// Se o item ja esta na posicao correta, continua
SE pos != ciclo_inicio ENTÃO
    // Trata elementos duplicados
    ENQUANTO item == v[pos] FAÇA
        pos = pos + 1
    FIM ENQUANTO

// Troca o item com o elemento na posicao correta
temp = v[pos]
v[pos] = item
item = temp

// Continua o ciclo ate retornar a posicao inicial
ENQUANTO pos != ciclo_inicio FAÇA
    pos = ciclo_inicio

    // Encontra nova posicao para o item
    PARA j = ciclo_inicio+1 ATÉ n-1 FAÇA
        SE v[j] < item ENTÃO
            pos = pos + 1
        FIM SE
    FIM PARA

    // Trata elementos duplicados novamente
    ENQUANTO item == v[pos] FAÇA
        pos = pos + 1
    FIM ENQUANTO

    // Troca novamente
    temp = v[pos]
    v[pos] = item
    item = temp
FIM ENQUANTO
FIM SE
FIM PARA
FIM PROCEDIMENTO

```

3. Metodologia

Nesta seção, são descritos o ambiente de execução empregado e os aspectos técnicos relacionados à implementação dos algoritmos, como bibliotecas utilizadas e características do hardware e do sistema operacional, de modo a assegurar a reproduzibilidade dos experimentos. Também são apresentados os mecanismos adotados para a coleta e o tratamento dos dados experimentais, bem como as ferramentas auxiliares empregadas na medição e análise de desempenho. Por fim, são explicitados os critérios e procedimentos experimentais utilizados para comparar o desempenho e o comportamento funcional dos algoritmos de ordenação sob diferentes configurações de entrada.

3.1. Especificações Técnicas

Esta subseção apresenta a configuração da máquina utilizada para a execução dos testes, fornecendo informações essenciais para a reproduzibilidade dos resultados. Essas informações permitem contextualizar os resultados obtidos, evidenciando as condições sob as quais os experimentos foram realizados. Observe a tabela 2.

Tabela 2. Especificações Técnicas da Máquina Utilizada nos Testes

Especificação	Descrição
Processador	Intel Core i5-12450H 12º Gen (2.00 GHz) (8 núcleos, 12 threads, 12 MB cache)
Memória RAM	16,0 GB @ 3200 MHz (utilizável: 15,7 GB)
SO	Windows 11 Home Single Language (Executado no Ubuntu 24.04.3 LTS via WSL2)

3.2. Especificações Práticas

Na condução dos experimentos, foram desenvolvidas funções específicas em linguagem C para a geração dos vetores de entrada, contemplando distribuições crescentes, decrescentes e aleatórias, de modo a controlar a ordenação inicial dos dados. Essa padronização dos conjuntos de teste permitiu isolar o impacto da organização dos dados sobre o comportamento dos algoritmos, conectando a geração dos vetores às análises de desempenho realizadas posteriormente.

Os cenários experimentais consideraram vetores com 20.000, 40.000 e 60.000 elementos, sendo cada tamanho avaliado sob as três configurações de ordenação inicial definidas. Essa combinação sistemática de tamanhos e distribuições assegurou uma cobertura abrangente dos casos analisados, estabelecendo uma base consistente para a comparação entre *Shell Sort* e *Cycle Sort*.

Para a medição do tempo de execução, foi implementada uma função dedicada utilizando a chamada *clock_gettime* com o relógio *CLOCK_MONOTONIC*, garantindo maior precisão e independência de ajustes do sistema. Essa abordagem permitiu a obtenção do tempo decorrido em milissegundos, conectando a medição temporal às demais métricas coletadas durante a execução dos algoritmos.

Além do tempo de execução, foram captadas métricas adicionais, incluindo análise de complexidade observada, número de comparações, quantidade de trocas e consistência temporal, esta última calculada com base no desvio padrão das execuções. Algumas dessas métricas, como comparações e trocas, exigiram adaptações diretas no código dos algoritmos, permitindo relacionar o comportamento interno das rotinas de ordenação aos resultados experimentais obtidos. Observe a tabela 3.

Tabela 3. Critérios de Avaliação e Justificativas

Critério de Avaliação	Justificativa para a Escolha
Tempo Médio de Execução (ms)	Permite avaliar o desempenho temporal dos algoritmos, sendo uma métrica fundamental para a comparação da eficiência prática sob diferentes tamanhos e configurações de entrada.
Número de Comparações	Reflete o custo lógico associado ao processo de ordenação, possibilitando relacionar o comportamento observado com a complexidade assintótica teórica baseada em comparações.

Critério de Avaliação	Justificativa para a Escolha
Quantidade de Trocas	Indica o volume de movimentações realizadas na memória, sendo especialmente relevante para algoritmos como o <i>Cycle Sort</i> , cujo objetivo principal é minimizar o número de escritas.
Complexidade Assintótica Observada	Permite analisar empiricamente a taxa de crescimento do custo computacional em função do tamanho da entrada, possibilitando a comparação entre teoria e prática.
Consistência do Tempo de Execução (desvio padrão)	Avalia a estabilidade do desempenho dos algoritmos entre diferentes execuções, indicando a previsibilidade e a robustez dos resultados experimentais.

Cada cenário foi executado 11 vezes para ambos os algoritmos, sendo desconsiderada a primeira execução no cálculo das métricas, com o objetivo de mitigar efeitos de *warm-up*. Os resultados das 10 execuções válidas foram armazenados individualmente em arquivos de texto, posteriormente consolidados em arquivos CSV, os quais serviram de base para a geração dos gráficos por meio de um *script* em Python utilizando as bibliotecas *pandas* e *matplotlib.pyplot*.

4. Resultados e Discussão

Nesta seção, são apresentados e analisados os dados obtidos nos testes de desempenho dos algoritmos de ordenação *Shell Sort* e *Cycle Sort*, considerando diferentes cenários de ordenação em larga escala. Além disso, os dados serão discutidos à luz das características teóricas de cada algoritmo, buscando relacionar os resultados práticos com o comportamento esperado dos algoritmos implementados.

4.1. Tempo Médio de Execução

Os resultados na figura 3 mostram um padrão claro no *Shell Sort*: o melhor tempo ocorre no cenário crescente (já ordenado), seguido pelo decrescente, e o pior tempo no aleatório. Esta ordem é intrigante, pois o caso decrescente, tradicionalmente um pior caso teórico, apresenta desempenho intermediário. A explicação reside na eficiência da sequência de *gaps* utilizada. Para um vetor inversamente ordenado, a primeira passada com um *gap* largo reorganiza os dados de forma drástica, criando rapidamente uma pré-ordenação que as passadas subsequentes finalizam com eficiência.

O cenário aleatório se consolida como o mais custoso, configurando-se como o pior caso prático nesta implementação. A desordem completa não oferece padrões que possam ser otimizados pelas passadas do *Shell Sort*. Cada incremento na sequência de *gaps* precisa realizar uma quantidade significativa de comparações e movimentações para impor uma ordem, sem se beneficiar de qualquer estrutura inicial nos dados.

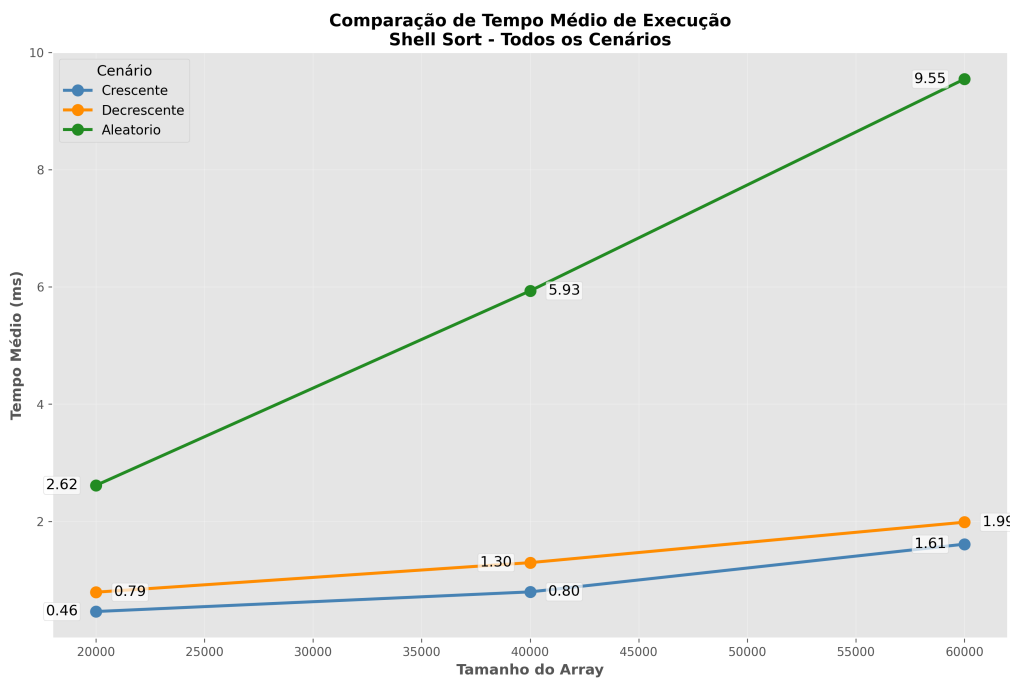


Figura 3. Comparação de Tempo Médio de Execução do Shell Sort

Portanto, a *performance* relativa dos cenários é determinada pela interação entre a estrutura inicial da entrada e a sequência de *gaps*. O algoritmo demonstra alta eficiência em dados com padrão (ordenado ou reverso) e maior custo em dados sem padrão, validando sua natureza e a importância da escolha da sequência de intervalos para seu desempenho.

Os dados presentes na figura 4 confirmam a natureza quadrática $O(n^2)$ do *Cycle Sort* em todos os cenários. Quando o tamanho do vetor triplica, os tempos aumentam por um fator entre 9,0 e 9,2. Este crescimento aproximadamente nonuplo é a assinatura empírica de uma complexidade quadrática, onde o custo é proporcional ao quadrado do tamanho da entrada.

A hierarquia de desempenho é mantida em todas as escalas. O cenário crescente permanece o mais rápido, pois evita a formação de ciclos longos. O decrescente apresenta tempo aproximadamente 1,9 vezes maior que o crescente para cada tamanho, um custo fixo adicional para desfazer a ordem inversa. O aleatório consolida-se como o pior caso, com tempos cerca de 3 vezes superiores aos do cenário decrescente na mesma escala.

Esta análise evidencia que a principal vantagem teórica do *Cycle Sort* – o número mínimo de escritas – é ofuscada por seu alto custo de comparações e busca. Seu uso é justificável apenas quando o custo de movimentação (sobrescrita) dos dados é exorbitante, e não para a otimização geral de tempo de execução em ordenação interna.

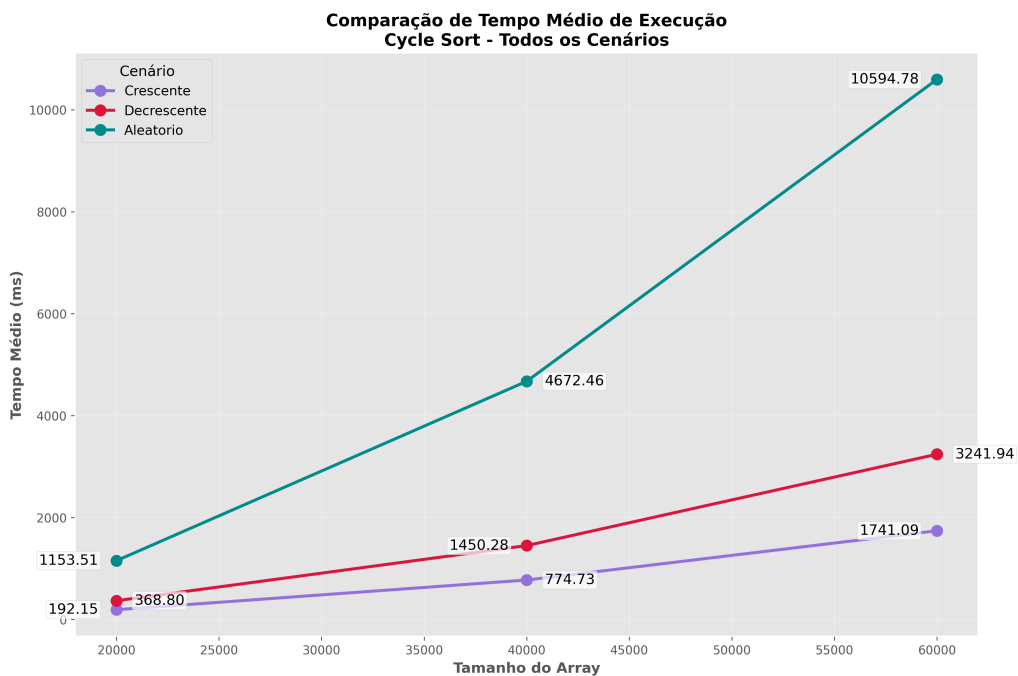


Figura 4. Comparação de Tempo Médio de Execução do Cycle Sort

4.2. Número de Comparações

Os dados de comparações do *Shell Sort* fornecidos pela figura 5 refletem a eficiência do algoritmo em explorar a ordenação pré-existente. No cenário crescente, o número de comparações é o mais baixo e cresce quase linearmente, indicando que o algoritmo realiza verificações mínimas ao confirmar a ordem já estabelecida. O cenário decrescente exige aproximadamente 1,6 vezes mais comparações que o crescente, evidenciando o custo de reorganizar inversões iniciais com a sequência de *gaps*.

O cenário aleatório demanda um número significativamente maior de comparações, cerca de 3,8 vezes superior ao crescente na maior entrada. Este salto comprova que a desordem completa força o algoritmo a realizar a ordenação integral, sem poder otimizar com base em *subarrays* parcialmente ordenados. A curva de crescimento é superlinear, coerente com a complexidade esperada.

A relação entre as contagens de comparações corrobora diretamente os tempos de execução medidos. A maior carga operacional no caso aleatório justifica seu desempenho mais lento, enquanto a eficiência nos casos ordenado e reverso valida a sensibilidade do *Shell Sort* à estrutura inicial dos dados.

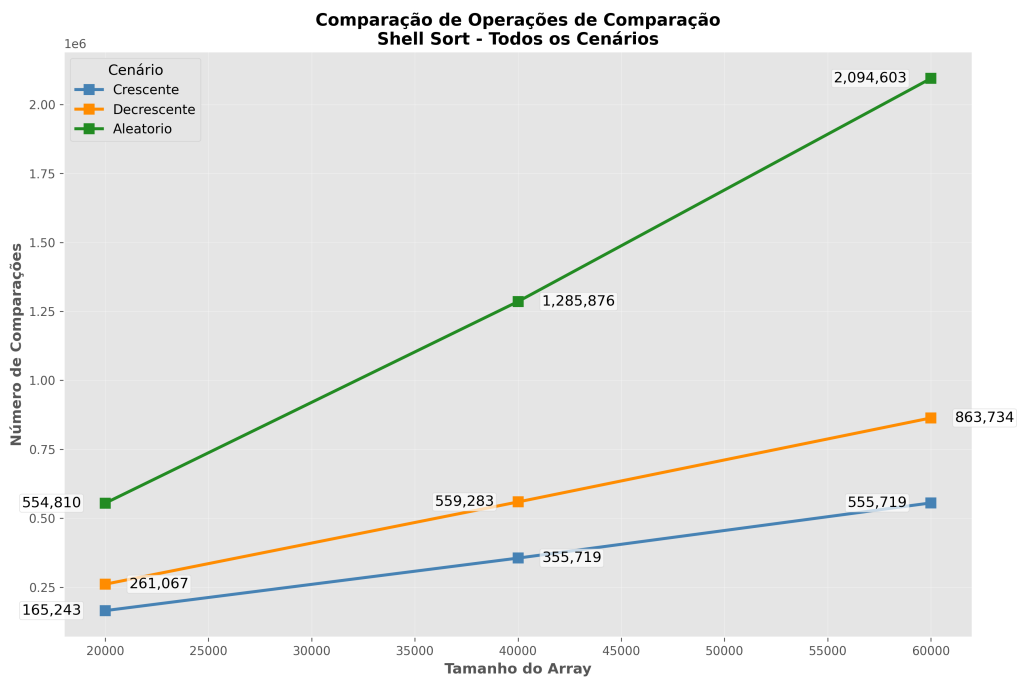


Figura 5. Número de Comparações por Cenário no Shell Sort

A escala das comparações no *Cycle Sort* mostrada na figura 6 é drasticamente superior à do *Shell Sort*, atingindo ordens de bilhões. Isso revela a ineficiência intrínseca do algoritmo em termos de comparações. No cenário crescente, as contagens seguem um crescimento próximo ao quadrático, confirmando a fórmula $n(n - 1)/2$ para verificar uma lista já ordenada.

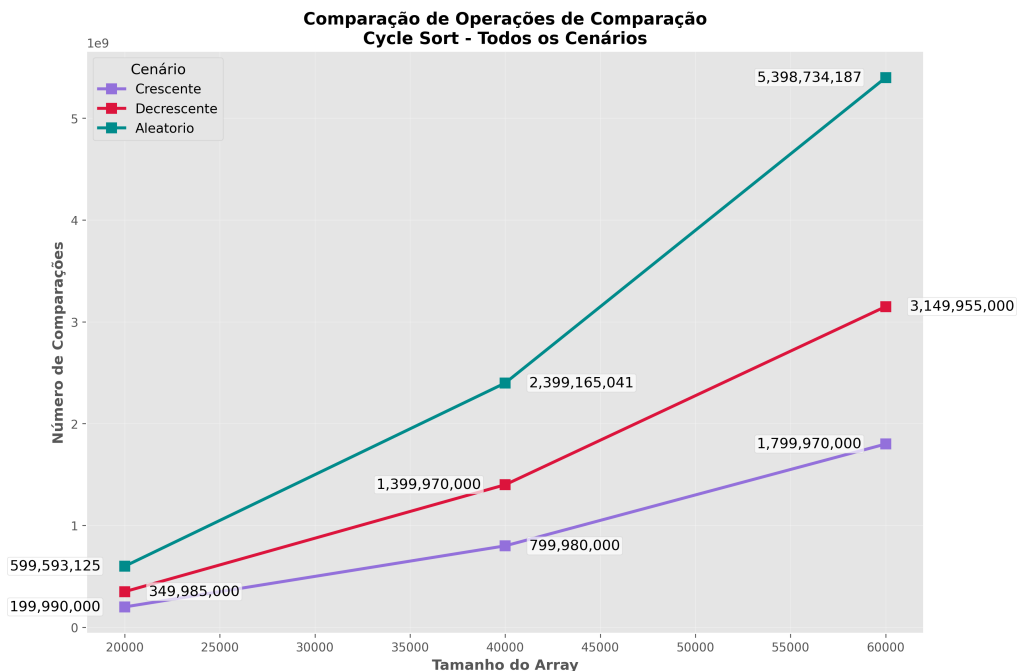


Figura 6. Número de Comparações por Cenário no Cycle Sort

O cenário decrescente exige aproximadamente 1,75 vezes mais comparações que o crescente para a mesma entrada. O caso aleatório consolida-se como o pior, exigindo cerca de 3 vezes mais comparações que o crescente. Esta enorme discrepância explica diretamente os tempos de execução observados: o custo de busca para posicionar cada elemento em um *array* sem padrão é proibitivo.

A análise comprova que a suposta vantagem do *Cycle Sort* em escritas é completamente anulada por seu custo quadrático em comparações. O algoritmo não é escalável para grandes conjuntos de dados, independentemente do cenário inicial, tornando-o uma escolha prática apenas para situações muito específicas onde a escrita é a operação criticamente dominante.

4.3. Quantidade de Trocas

Os dados de trocas do *Shell Sort* apresentados na figura 7 confirmam a eficiência do algoritmo. No cenário crescente, nenhuma troca é realizada, pois as inserções já encontram os elementos em posições corretas. Para o decrescente, o número de trocas cresce de forma superlinear, refletindo o esforço para corrigir inversões usando a sequência de *gaps*. Contudo, o volume é moderado, evidenciando a eficácia dos *gaps* em reduzir movimentações.

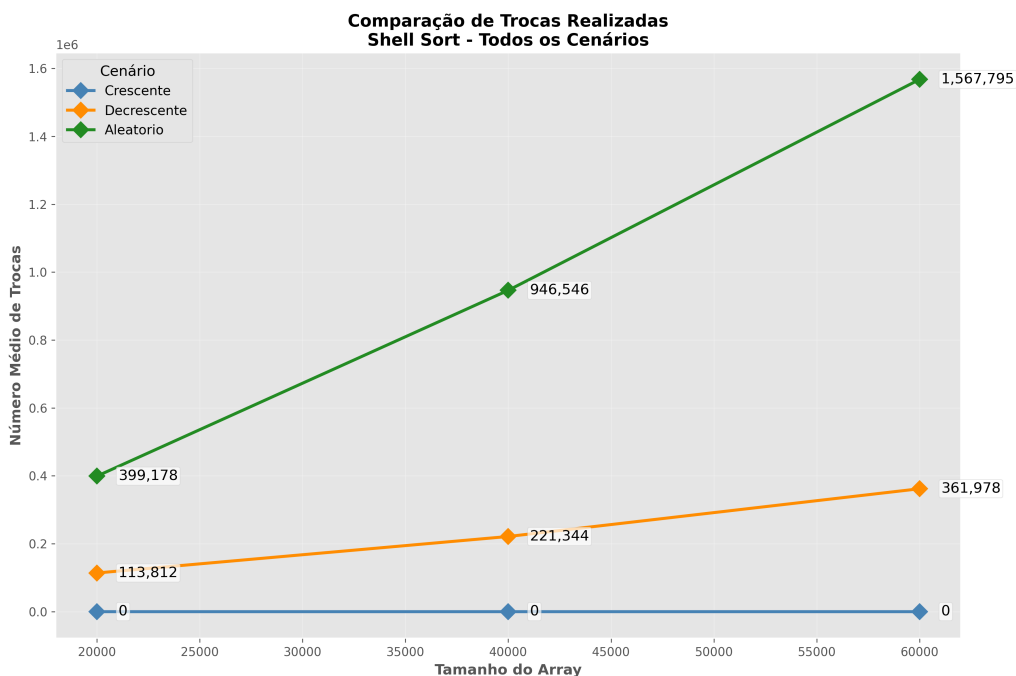


Figura 7. Número de Trocas por Cenário no Shell Sort

O cenário aleatório apresenta o maior número de trocas, com crescimento acentuado. Isto era esperado, dado que a ordenação precisa ser construída integralmente. A relação com as comparações é direta: mais comparações para localizar posições corretas resultam em mais trocas necessárias para reposicionar elementos fora de lugar.

Este padrão corrobora os resultados de tempo. O custo de movimentação, embora existente, não é o fator dominante no *Shell Sort*. A *performance* é mais impactada pelo número de comparações, o que explica sua superioridade sobre o *Cycle Sort*, que minimiza trocas, mas paga um preço exorbitante em comparações.

Os resultados observados na figura 8 comprovam a principal vantagem teórica do *Cycle Sort*: realizar o número mínimo de escritas necessárias. Nos cenários crescente e aleatório, o número de trocas é praticamente $n-1$ ou inferior, significando que cada elemento é movido no máximo uma vez para sua posição final. Esta é uma eficiência inigualável em operações de escrita.

Este resultado evidencia o *trade-off* fundamental do *Cycle Sort*. A otimização extrema em escritas é alcançada às custas de um número quadrático e proibitivo de comparações. Portanto, sua aplicação é justificada apenas em contextos onde a escrita na memória é uma operação extraordinariamente lenta ou desgastante, e nunca como uma solução de ordenação geral.

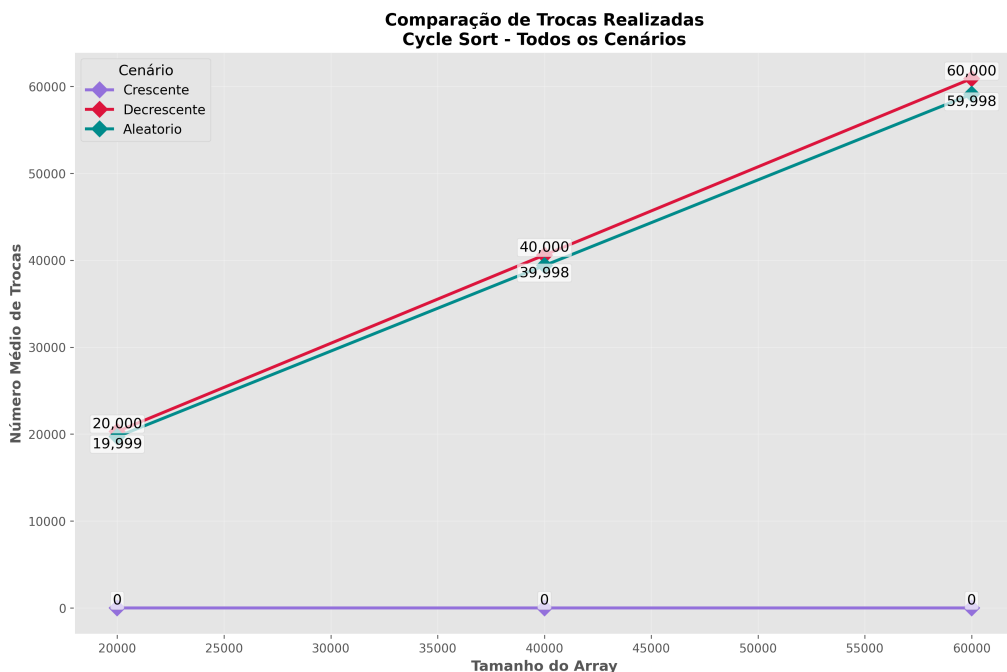


Figura 8. Número de Trocas por Cenário no Cycle Sort

No caso decrescente, o algoritmo atinge seu máximo teórico de trocas, que é n . Isto ocorre porque cada elemento está na posição oposta à sua final, forçando uma troca por item. Ainda assim, este é o mínimo absoluto para ordenar uma sequência totalmente invertida, uma eficiência notável.

4.4. Complexidade Assintótica Observada

No gráfico da figura 9, observa-se um comportamento significativamente diferente no *Shell Sort*. Os tempos médios são muito menores (ordem de milissegundos baixos) e crescem de forma bem mais suave com o aumento do tamanho do vetor. Os coeficientes α indicam um crescimento sublinear a quase linear, compatível com complexidades intermediárias entre $O(n)$ e $O(n \log n)$, dependendo do cenário e da sequência de *gaps* utilizada.

O cenário crescente apresenta o melhor desempenho, pois o *Shell Sort* se beneficia de dados parcialmente ordenados. Já o cenário decrescente, apesar de teoricamente

desfavorável para algoritmos simples como a variação do *Insertion Sort*, ainda mantém crescimento baixo. Por fim, o cenário aleatório é o mais custoso, mas permanece muito abaixo do *Cycle Sort* em termos absolutos. As curvas empíricas se mantêm próximas ou abaixo da referência $O(n \log n)$, distantes de $O(n^{1.5})$, sugerindo uma boa eficiência prática do algoritmo para os tamanhos testados.

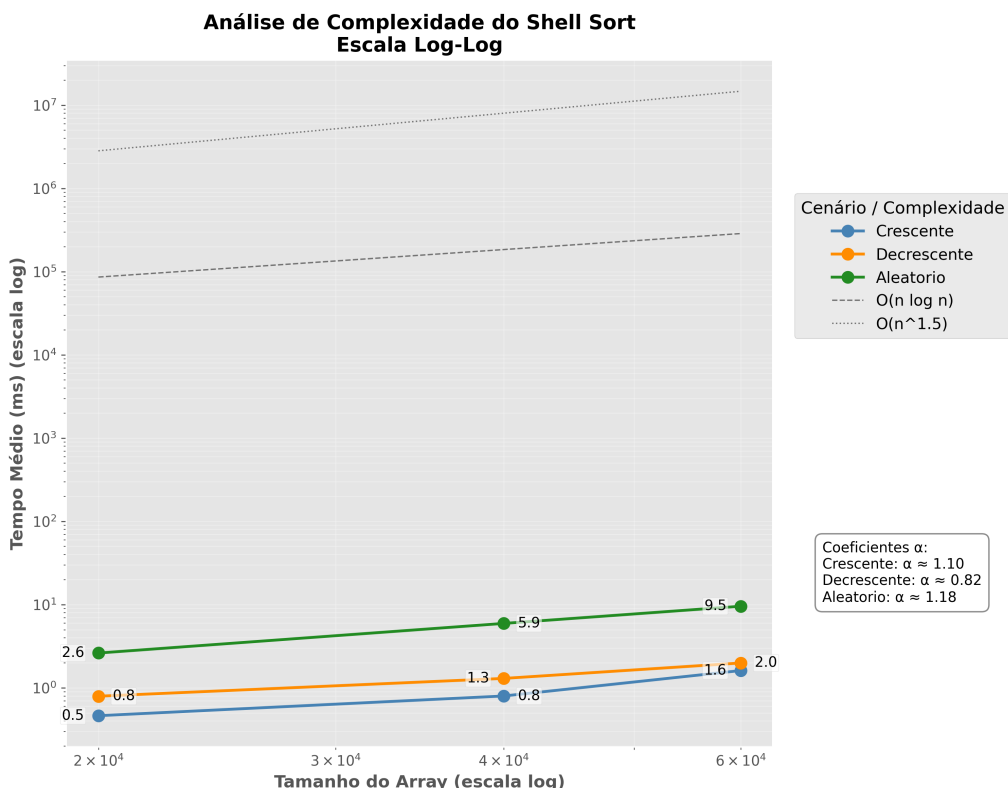


Figura 9. Análise de Complexidade do Shell Sort

O gráfico da figura 10 evidencia um crescimento acentuado do tempo de execução do *Cycle Sort* à medida que o tamanho do vetor aumenta. Em escala log-log, as curvas dos três cenários (crescente, decrescente e aleatório) apresentam inclinações muito semelhantes, o que é confirmado pelos coeficientes estimados.

Esses valores indicam claramente um comportamento quadrático, isto é, $O(n^2)$, independentemente da ordem inicial dos dados. Isso está de acordo com a natureza do *Cycle Sort*, que realiza, para cada posição, uma contagem do número de elementos menores no vetor inteiro, resultando em um número elevado de comparações.

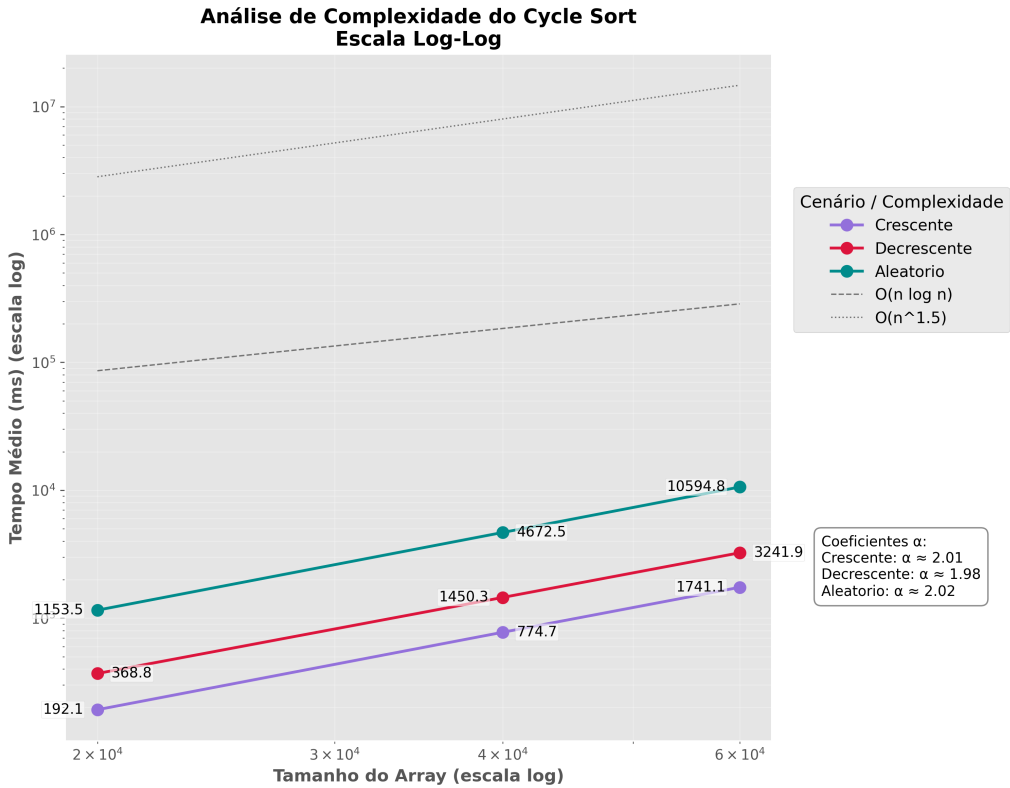


Figura 10. Análise de Complexidade do Cycle Sort

É importante ressaltar que o cenário aleatório apresenta os maiores tempos médios, seguido do decrescente e depois do crescente. E apesar de o *Cycle Sort* ser conhecido por minimizar o número de trocas, isso não se reflete em ganho de tempo, pois o custo dominante está nas comparações. As curvas empíricas ficam bem acima das referências teóricas $O(n \log n)$ e mais próximas de uma tendência $O(n^2)$, reforçando que o algoritmo não é adequado para grandes volumes de dados quando o critério é tempo de execução.

4.5. Consistência do Tempo de Execução

O gráfico do *Shell Sort* representado pela figura 11 revela uma variabilidade significativamente maior nos tempos de execução, especialmente nos cenários crescente e decrescente. Os coeficientes de variação alcançam valores superiores a 25% para o menor tamanho de entrada, indicando grande dispersão entre as execuções.

No cenário crescente, o coeficiente de variação apresenta comportamento não monôtonico, com forte queda no tamanho intermediário e um aumento expressivo no maior tamanho analisado, sugerindo maior sensibilidade a fatores como cache, *branch prediction* e variações internas do algoritmo. O cenário decrescente mostra uma redução progressiva da variação conforme o tamanho do vetor aumenta, indicando maior estabilidade para entradas maiores. O cenário aleatório apresenta os menores coeficientes de variação entre os três cenários, mantendo-se relativamente estável e abaixo de 7%, o que sugere comportamento mais previsível quando os dados não possuem estrutura prévia.

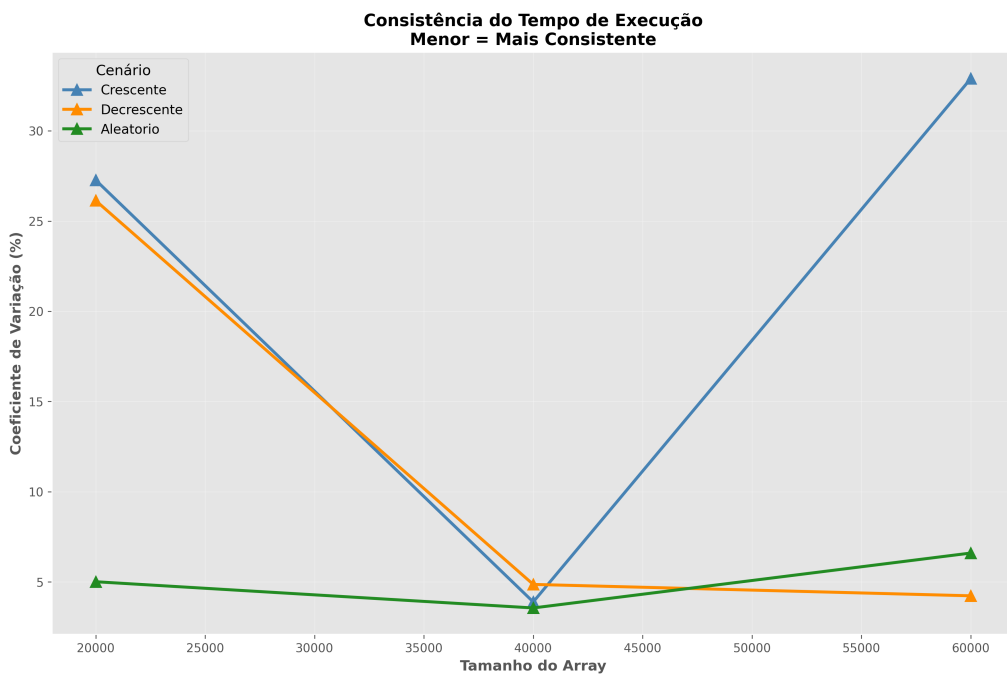


Figura 11. Consistência Sobre o Tempo de Execução do Shell Sort

O gráfico referente ao *Cycle Sort* na figura 12 indica que o algoritmo apresenta alta consistência no tempo de execução em todos os cenários analisados. Os coeficientes de variação permanecem inferiores a 2% para todos os tamanhos de entrada, o que evidencia uma baixa dispersão dos tempos medidos entre diferentes execuções.

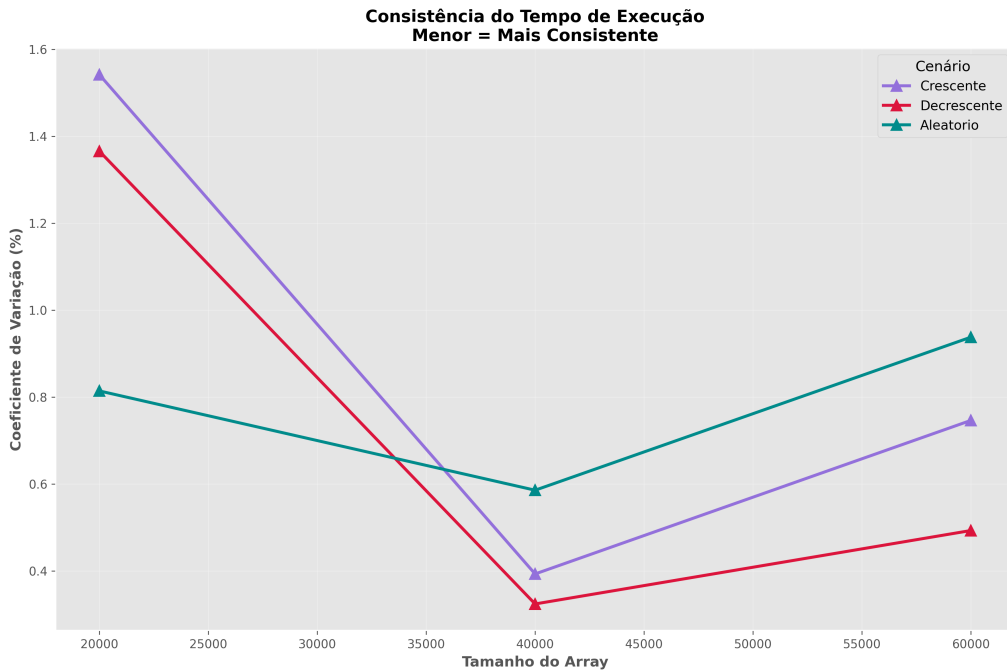


Figura 12. Consistência Sobre o Tempo de Execução do Cycle Sort

O cenário crescente apresenta maior variação para o menor tamanho de entrada,

porém ainda dentro de valores considerados muito baixos. À medida que o tamanho do vetor aumenta, há uma redução do coeficiente de variação, especialmente para o tamanho intermediário, indicando maior estabilidade do algoritmo conforme cresce o volume de dados. O cenário aleatório mantém valores relativamente estáveis ao longo dos tamanhos analisados, reforçando que a ordem inicial dos dados exerce pouca influência sobre a previsibilidade do tempo de execução.

Essa elevada consistência está diretamente relacionada à natureza do *Cycle Sort*, cujo fluxo de execução e número de comparações tendem a ser determinísticos e pouco sensíveis à disposição inicial dos elementos.

5. Conclusão

Os testes realizados confirmam as diferenças fundamentais entre os algoritmos *Shell Sort* e *Cycle Sort* em larga escala. O *Shell Sort* demonstrou desempenho prático superior, com complexidade próxima de $O(n \log n)$ e alta eficiência em todos os cenários testados. Sua *performance* foi sensível à ordenação inicial, sendo notavelmente rápida em dados pré-ordenados.

Por outro lado, o *Cycle Sort* exibiu o comportamento quadrático $O(n^2)$ esperado, tornando-se rapidamente inviável para grandes volumes de dados. Sua principal vantagem teórica — a minimização de escritas — não se traduziu em eficiência geral, pois o custo dominante revelou-se nas comparações. A consistência em seu tempo de execução não compensou sua lentidão absoluta.

A escolha entre os algoritmos deve, portanto, considerar o critério de desempenho prioritário. Para a ordenação geral com foco em velocidade, o *Shell Sort* é a alternativa claramente mais adequada. Já o *Cycle Sort* só se justifica em contextos extremamente específicos, onde a operação de escrita na memória é o fator crítico a ser otimizado, custo que seja o tempo total de processamento.

Por fim, os resultados validam a importância da análise empírica aliada à teoria. A escalabilidade do *Shell Sort* o consolida como uma ferramenta robusta para aplicações reais. A implementação do *Cycle Sort*, embora academicamente relevante, serve como demonstração prática dos *trade-offs* inerentes ao design de algoritmos.

Referências

- Ayazuddin, R. (2025). A comprehensive study of sorting algorithm performance using real-world dataset metrics.
- Bentley, J. L. and McIlroy, M. D. (1993). Engineering a sort function. *Software: Practice and Experience*, 23(11):1249–1265.
- Donald, E. et al. (1997). The art of computer programming, volume 3: Sorting and searching.-2nd.
- Frank, R. and Lazarus, R. (1960). A high-speed sorting procedure. *Communications of the ACM*, 3(1):20–22.
- Gonnet, G. H. and Baeza-Yates, R. (1991). *Handbook of algorithms and data structures: in Pascal and C*. Addison-Wesley Longman Publishing Co., Inc.

- Haddon, B. K. (1990). Cycle-sort: a linear sorting method. *The Computer Journal*, 33(4):365–367.
- Hibbard, T. N. (1962). Some combinatorial properties of certain trees with applications to searching and sorting. *Journal of the ACM (JACM)*, 9(1):13–28.
- Hopcroft, J. E., Ullman, J. D., and Aho, A. V. (1983). *Data structures and algorithms*, volume 175. Addison-wesley Boston, MA, USA:.
- Jain, R. (1990). *The art of computer systems performance analysis*. john wiley & sons.
- Janson, S. and Knuth, D. E. (1997). Shellsort with three increments. *Random Structures & Algorithms*, 10(1-2):125–142.
- Lipton, L. R. and Naughton, J. Knu d. knuth, the art of computer programming, vol. 3: Sorting and searching, addison-wesley, reading, ma, 1973. kri p. krishnan, online prediction algorithms for databases and operating systems,”brown univ.
- Mahmoud, H. M. (2011). *Sorting: A distribution theory*. John Wiley & Sons.
- Muhammad, M. H. G., Malik, J. A., Akhtar, M., Baloch, M. A., and Rajwana, M. A. (2025). Sort data faster: Comparing algorithms. *Southern Journal of Computer Science*, 1(02):28–37.
- Pratt, V. R. (1972). Shellsort and sorting networks. Technical report.
- Sedgewick, R. (1986). A new upper bound for shellsort. *Journal of Algorithms*, 7(2):159–173.
- Sedgewick, R. and Wayne, K. (2011). *Algorithms*. Addison-wesley professional.
- Shell, D. L. (1959). A high-speed sorting procedure. *Communications of the ACM*, 2(7):30–32.
- Smythe, R. T. and Wellner, J. (2001). Stochastic analysis of shell sort. *Algorithmica*, 31(3):442–457.
- Smythe, R. T. and Wellner, J. A. (2002). Asymptotic analysis of (3, 2, 1)-shell sort. *Random Structures & Algorithms*, 21(1):59–75.
- Souza, R. M., Oliveira, F. S., and Pinto, P. E. (2018). Um limite superior para a complexidade do shellsort. In *Encontro de Teoria da Computação (ETC)*. SBC.
- Sundaramoorthy, S. and Karunanidhi, G. (2025). A systematic analysis on performance and computational complexity of sorting algorithms. *Discover Computing*, 28(1):250.
- Thomas H, C., Charles, E., Ronald L, R., Clifford, S., et al. (2009). Introduction to algorithms third edition.
- Tokuda, N. (1992). An improved shellsort. In *Proceedings of the IFIP 12th World Computer Congress on Algorithms, Software, Architecture-Information Processing'92, Volume 1-Volume I*, pages 449–457.
- Turzo, N. A., Sarker, P., Kumar, B., Ghose, J., and Chakraborty, A. (2020). Defining a modified cycle sort algorithm and parallel critique with other sorting algorithms. *Global Research Development (GRD) ISSN: 2455-5703*, 5(4):1–8.